

Значения коэффициентов
 q_1 , q_2 , q_3

q_i	Грудь	Таз	Кисти рук
q_1	0,8—1,2	1,2—1,5	1,2—1,5
q_2	0,8	5,1	7,8
q_3	0,9	5,0	7,8

и реальными ($D_{\gamma,p}$) измерениями; q_2 — коэффициент, характеризующий отношение доз β -облучения, полученных фантомными ($D_{\beta,f}$) и реальными ($D_{\beta,p}$) измерениями; q_3 — коэффициент, характеризующий отношение доз смешанного β — γ -облучения.

Используя результаты фантомных измерений и значений коэффициентов, приведенных в табл. 2, можно

Таблица 2

определить аварийные дозы облучения и дозы, полученные персоналом ранее, с ошибкой $\pm 30\%$.

Значительные превышения q_2 и q_3 над q_1 для некоторых частей тела можно объяснить тем, что при проведении манипуляций с бета-источниками положение оператора относительно активной части облучателя постоянно меняется, а при моделировании лучевых нагрузок положение фантома строго фиксировано. При изменении положения активной части источника относительно детектора, как показали измерения, резко меняется спектральный состав β -излучения и интенсивность (для фиксированной точки) β -частиц.

Таким образом, в данной работе приведены полученные на основании экспериментальных исследований коэффициенты, позволяющие с помощью фантомных измерений определить дозы облучения персонала в различные периоды эксплуатации мощной радиационной техники.

Поступило в Редакцию 14/VII 1971 г.

Извлечение Y^{91} и Ce^{144} из водных растворов методом пенной флотации

Н. Н. ПУСТОВАЛОВ, В. В. ПУШКАРЕВ

Известно, что малоактивные жидкие отходы часто содержат поверхностноактивные вещества (ПАВ), которые отрицательно влияют на очистку этих вод различными методами [1, 2]. Кроме того, допустимая концентрация ПАВ в водоемах строго регламентирована санитарными нормами и составляет несколько миллиграммов на 1 л [3]. Одним из методов очистки подобных стоков, в результате которой достигается удаление как активности, так и ПАВ, является метод пенной флотации [4].

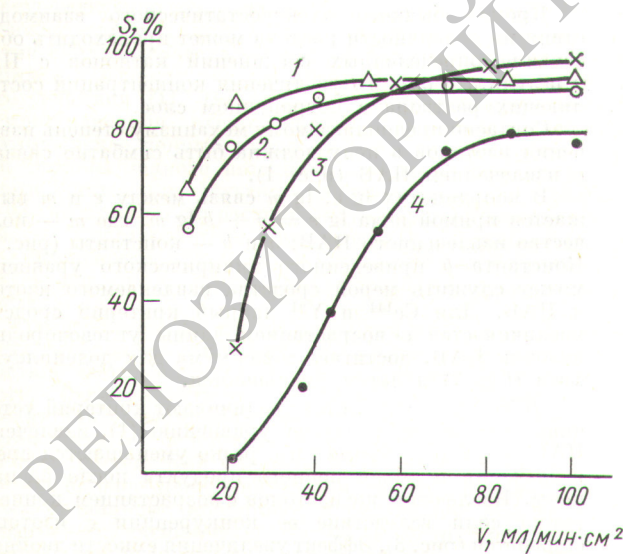


Рис. 1. Влияние скорости подачи диспергированного воздуха на извлечение компонентов раствора в пене ($pH = 4,0$):

1 — извлечение тетрадецилсульфата; 2 — извлечение Ce^{144} с тетрадецилсульфатом; 3 — извлечение Ce^{144} с додецилсульфатом; 4 — извлечение додецилсульфата.

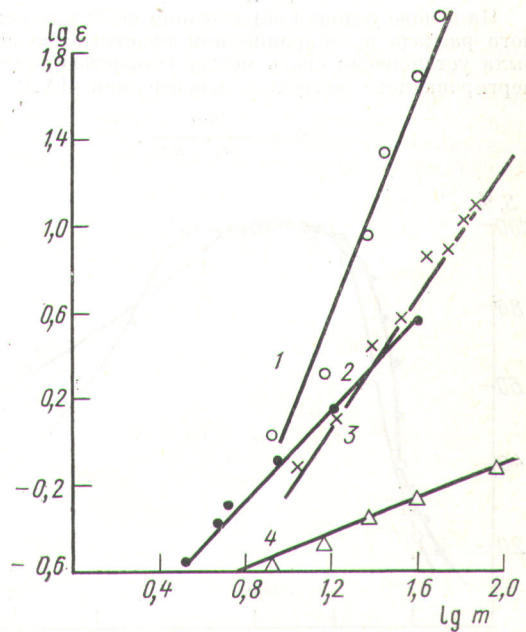


Рис. 2. Зависимость коэффициента распределения Y^{91} между пенным продуктом и раствором от количества извлеченного ПАВ ($pH = 2,0$; $NaNO_3 = 3 \text{ г/л}$):

1 — додецилсульфат; 2 — децилсульфат; 3 — тетрадецилсульфат; 4 — гексадецилсульфат.

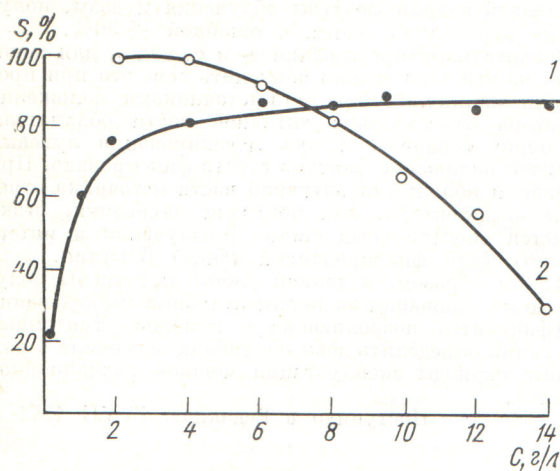


Рис. 3. Влияние концентрации азотнокислого натрия на извлечение додецилсульфата (1) и Y^{91} (2) с додецилсульфатом натрия ($\text{pH} = 2,0$; ПАВ = 50 мг/л).

Методика проведения экспериментов и аппаратура были аналогичны принятым ранее [5]. Исходная активность растворов составляла $\sim 5 \cdot 10^{-6}$ кюри/л. Для описания процесса извлечения ПАВ и изотопов использовались следующие параметры: S — степень извлечения компонентов раствора в пененный продукт, ε — коэффициент распределения компонентов раствора между пененным продуктом и раствором, определяемый по соотношению $\varepsilon = \frac{S}{1-S}$.

На основе условий образования пены и ее естественного распада в сепарационном пространстве аппарата была установлена связь между скоростью подачи диспергированного воздуха и извлечением ПАВ:

$$\varepsilon = \frac{kva}{1 - \alpha + kva}, \quad (1)$$

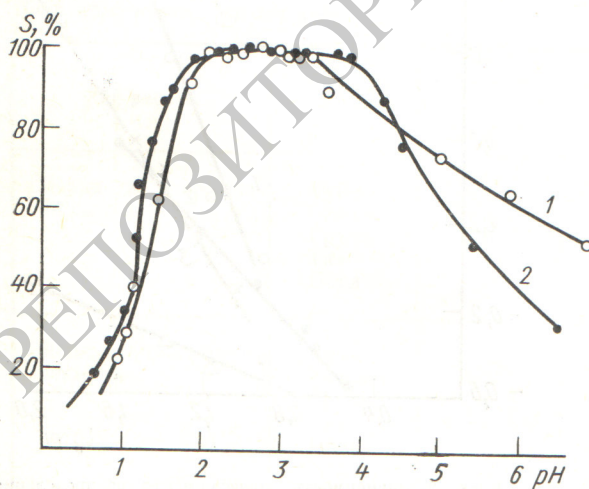


Рис. 4. Зависимость извлечения Y^{91} (1) и Ce^{144} (2) от pH раствора с додецилсульфатом натрия ($\text{NaNO}_3 = 4,5 \%$; ПАВ = 50 мг/л).

где k — константа; v — скорость подачи диспергированного воздуха; α — критерий устойчивости пены, определенный как отношение объема пененного продукта, образующегося через некоторый промежуток времени, к объему пены в момент ее образования. Обычно промежуток времени для расчетов α выбирался в соответствии со средним временем пребывания пены в сепарационном пространстве.

Как видно из уравнения (1), при $\alpha \rightarrow 1$ извлечение ПАВ не зависит от скорости подачи диспергированного воздуха, а с уменьшением α необходимо увеличивать расход воздуха для достижения максимальной степени извлечения. При малых значениях критерия устойчивости необходим большой расход воздуха, что в конечном итоге может привести к перекачке всего раствора в пену. Поэтому целесообразно резко повышать скорость подачи воздуха в конце процесса извлечения, когда критерий устойчивости уменьшается, а пена содержит мало раствора.

Алкилсульфаты натрия в водном растворе находятся в диссоциированном состоянии, что и объясняет их высокую растворимость в воде [6]. Экспериментально было установлено, что они не образуют каких-либо соединений в водных растворах с катионами микрокомпонентов, вследствие чего наиболее вероятен следующий механизм извлечения изотопов с алкилсульфатами натрия. Органические ионы ПАВ, обладающие отрицательным зарядом, адсорбируются на границе раздела фаз, и поверхность раздела по этой причине приобретает определенный заряд. Для компенсации появившегося заряда возникает диффузионный слой, который при образовании пены входит в состав ее тонких пленок. Распределение катионов раствора между объемом раствора и диффузионной частью адсорбционного слоя происходит согласно закону действующих масс. Суммарная емкость диффузионных слоев пены в этом случае определяется количеством извлеченного ПАВ.

Кроме обычного электростатического взаимодействия на поверхности раздела может происходить образование определенных соединений катионов с ПАВ в результате резкого увеличения концентраций составляющих растворов в пограничном слое.

Согласно предполагаемому механизму степень извлечения изотопов в пену должна быть симбатно связана с извлечением ПАВ (рис. 1).

В координатах $\lg \varepsilon$, $\lg m$ связь между ε и m выражается прямой вида $\lg \varepsilon = a + b \lg m$, где m — количество извлеченного ПАВ; a и b — константы (рис. 2). Константа b приведенного эмпирического уравнения может служить мерой сродства извлекаемого изотопа к ПАВ. Для Ce^{144} и Y^{91} данный критерий сродства увеличивается с возрастанием длины углеводородной цепочки ПАВ, достигает максимума для додецилсульфата ($b \gg 2$) и затем уменьшается.

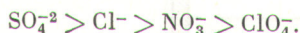
Добавки электролитов увеличивают критерий устойчивости пены и, согласно уравнению (1), извлечение ПАВ возрастет. Кроме того, резко уменьшаются время извлечения и объем пененного продукта после распада пены. Извлечение же изотопов с возрастанием концентрации соли вследствие ее конкуренции с изотопом снижается (рис. 3). Эффект увеличения емкости двойного слоя за счет возрастания извлечения ПАВ компенсируется при этом более значительным конкурентным влиянием соли.

По своему влиянию на увеличение количества извлекаемого ПАВ и повышение конкурентной способности по отношению к изотопу исследованные катионы

можно расположить в ряд



Природа анионов мало влияет на процесс извлечения ПАВ. Исследованные анионы уменьшают извлечение изотопов вследствие образования комплексов с изотопами согласно ряду



В присутствии соли изменение величины рН мало влияет на извлечение ПАВ в пенный продукт. В этом случае количество воды, уносимой с пеной, составляет менее 1% объема продуваемого раствора в широком диапазоне рН.

Вынос изотопов при различных реакциях определяется их состоянием в растворе. На рис. 4 приведены данные по извлечению Ce^{144} и Y^{91} с додецилсульфатом натрия в присутствии 4,5 г/л NaNO_3 . Как видно из этого рисунка, характер кривых аналогичен для Ce^{144} и Y^{91} . Уменьшение извлечения изотопов в кислой среде объясняется конкурентным влиянием H^{+} -ионов; снижение извлечения при $\text{pH} > 5$ происходит вследствие образования радиоколлоидов. В данных условиях степень извлечения изотопов достигает

$99 \pm 0,2\%$, а при уменьшении концентрации соли $\sim 100\%$.

Поступило в Редакцию 9/VII 1971 г.
В окончательной редакции 2/XII 1971 г.

ЛИТЕРАТУРА

- Н. А. Лукиних и др. Влияние синтетических ПАВ на очистку сточных вод. М., Изд. АКХ РСФСР, 1956.
- Д. И. Трофимов, З. А. Зверькова. Сборник докладов конференции специалистов стран — членов СЭВ по проблеме обезвреживания радиоактивных отходов (ЧССР, г. Брно, 22—27 июня 1964 г.). М., СЭВ, 1965.
- Е. А. Можаев и др. «Научные тр. АКХ». Вып. 63, 89 (1970).
- В. В. Пушкирев, Ю. В. Егоров, Б. Н. Хрусталев. Осветление и дезактивация сточных вод пенной флотацией. М., Атомиздат, 1969.
- В. В. Пушкирев, Л. Д. Скрылев, Б. Ф. Багрецов. «Ж. прикл. химии», 33, 59 (1960).
- К. Шинода и др. Коллоидные поверхностно-активные вещества. М., «Мир», 1966.

Расчет фазовой фокусировки интенсивных сгустков заряженных частиц в ускорителях прямого действия

М. И. АВРАМЕНКО, В. С. КУЗНЕЦОВ, Н. П. КУЗНЕЦОВА, М. А. НИКОЛЬСКИЙ, Р. П. ФИДЕЛЬСКАЯ УДК 533.922

В связи с развитием работ по спектрометрии быстрых нейтронов все большее значение приобретает вопрос об осуществлении наносекундных импульсных режимов на низковольтных нейтронных генераторах, электростатических генераторах и других ускорителях, относящихся к разряду так называемых ускорителей прямого действия [1]. На рис. 1, а показана наиболее распространенная схема такого рода ускорителей. В этом случае ионный пучок на входе из фокусирующей системы ионного источника прерывается и полученные исходные сгустки длительностью порядка 20—30 нсек за счет скоростной модуляции, осуществляющейся в группирователе, значительно сокращаются по длительности при пролете остальной части тракта ускорителя, т. е. происходит фазовая фокусировка сгустка.

При исследовании динамики частиц в таких ускорителях необходимо учитывать как кулоновское взаимодействие частиц в сгустке, так и разброс частиц по скорости. Такая задача в полном объеме чрезвычайно сложна для решения, так как движение частиц должно рассматриваться в шестимерном пространстве координат и скоростей. Для упрощения задачи предположим, что продольное движение частиц сгустка не зависит от их радиальных координат, а радиальное движение частиц — от аксиальных. Также в целях простоты примем, что распределение плотности частиц в попечном фазовом пространстве микроканоническое и в данный момент времени одинаково для любого сечения сгустка $z = \text{const}$. Эти допущения позволяют свести шестимерную задачу о фазовой фокусировке сгустка к двумерной задаче относительно продольных координат и скоростей частиц.

В работе [2] было найдено стационарное решение упомянутой задачи. Мы рассмотрим нестационарный случай и не будем налагать никаких ограничений на функцию распределения плотности частиц в продольном фазовом пространстве. В этом случае распределение части сгустка по продольным координатам z и скоростям w определяется следующей системой уравнений:

$$\frac{\partial f}{\partial t} + w \frac{\partial f}{\partial z} + w \frac{\partial f}{\partial w} = \frac{df}{dt} = 0, \quad (1)$$

$$\frac{dz}{dt} = w, \quad (2)$$

$$\frac{dw}{dt} = kF[z, R(t), t] + \frac{e}{m} \cdot \frac{dV(z)}{dz}, \quad (3)$$

$$\frac{d^2R}{dt^2} = \frac{k\rho_0^* l_0}{Rl(t)} + \frac{\Phi^2}{R^3} + \frac{e}{m} \cdot \frac{d^2V(z)}{dz^2} R(t), \quad (4)$$

$$F[z, R(t), t] = \frac{1}{R^2(t)} \left[\int_{z_{\min}}^{z_{\max}} \frac{\rho^*(\eta)(\eta - z) dz}{\sqrt{R^2(t) + (\eta - z)^2}} + \right.$$

$$+ \int_{z_{\min}}^{z_{\max}} \rho^*(\eta) d\eta - \int_{z_{\min}}^{z_{\max}} \rho^*(\eta) d\eta \left. \right], \quad (5)$$

$$\rho^*(z, t) = \int_{-\infty}^{\infty} f(z, w, t) dw, \quad (6)$$